

УДК 534-14

## РАСПРОСТРАНЕНИЕ ИМПУЛЬСОВ В СРЕДЕ С КНЕЗЕРОВСКОЙ РЕЛАКСАЦИЕЙ

*М. Я. Кельберт, И. А. Сазонов*

Изучается изменение формы импульса, проходящего через среду с кнезеровской релаксацией в одномерном (и сводящемся к нему трехмерному) случае. Рассмотрены случаи импульсов различной первоначальной формы: прямоугольной (с заполнением и без заполнения), в виде б-функций и в виде ступеньки. Показано, что регистрация измененной формы импульса является методом определения релаксационных параметров среды.

Электромагнитный или акустический импульс, проходя через среду, меняет свою форму вследствие дисперсии скорости звука и зависящего от частоты поглощения. Анализ формы импульса позволяет определить тип дисперсионной зависимости и характеризующие его параметры, т.е. является методом диагностики сред. Как хорошо известно (см. [1], § 77), в быстропеременных электромагнитных полях при учете процессов установления электрической и магнитной поляризации связь между индукцией  $D$  и напряженностью  $E$  поля имеет вид

$$D(t) = E(t) + \int_0^{\infty} f(t') E(t - t') dt', \quad (1)$$

где  $f(t)$  — функция, зависящая от свойств среды; при этом диэлектрическая проницаемость  $\epsilon(\omega) = 1 + \int_0^{\infty} f(t) \exp(i\omega t) dt = 1 + \tilde{f}(\omega)$ . В акустическом случае аналогичное соотношение связывает давление и сжатие [13].

В применении к диэлектрикам простейшее предположение состоит в том, что  $f(t) = (2\gamma/\tau) \exp(-|t|/\tau)$ ,  $\tau$  — характерное время релаксации [2]. Этому случаю (называемому обычно кнезеровской релаксацией) посвящена большая литература в физической акустике [3—6], оптике [7], радиофизике (например, температурная релаксация [8]). Целью настоящей работы является изучение изменения формы импульса в среде с кнезеровской релаксацией в одномерном (и сводящемся к нему трехмерному) случае. Двумерный случай более сложен, ему будет посвящена отдельная публикация.

Пусть в момент времени  $t=0$  начальный импульс имел прямоугольную форму:  $\phi(x, 0) = \theta(b - |x|)$ ,  $\phi(x, 0) = 0$ , где  $\theta(x)$  — единичный скачок Хевисайда (в акустическом случае  $\phi$  — давление, в электромагнитном случае — компонента вектора напряженности электрического или магнитного поля). Нетрудно показать, что в точке  $x > b$  форма этого импульса дается выражением  $\phi(x, t) = (\phi_{\theta}(x - b, t) - \phi_{\theta}(x + b, t))/2$ , где

$$\phi_{\theta}(x, t) = \frac{1}{2\pi i} \int_{-\infty+i0}^{\infty+i0} \omega^{-1} \exp(i\Psi(\omega)) d\omega, \quad (2)$$

$$\Psi(\omega) = -\omega t + (\omega x/c)(1 + \tilde{f}(\omega))^{1/2}, \quad \tilde{f}(\omega) = 2\gamma/(1 - i\omega\tau).$$

В дальней зоне, т. е. при

$$\gamma x/c\tau \gg 1, \quad (3)$$

но не слишком близко от фронта,

$$ct - x \gg c\tau^2/\gamma t, \quad (4)$$

асимптотика интеграла (2) исследуется методом перевала. Функция  $\Psi(\omega)$  имеет четыре перевальные точки:  $\omega_{1,2} = i(-1 \pm \beta^{-1})/\tau + O(\gamma)$ ,  $\omega_{3,4} = (-i \pm (\gamma/2)^{1/2})/\tau + O(\gamma)$ , где  $\beta = ((ct/x - 1)/\gamma)^{1/2}$ . Анализ показывает, что в дальней зоне наиболее существенный вклад вносит точка  $\omega_1$ . Деформируем первоначальный контур интегрирования в перевальный контур  $\Gamma$ , проходящий через  $\omega_1$ , и учтем, что при  $\beta \approx 1$  точка перевала  $\omega_1$  сливается с полюсом  $\omega = 0$ . Точные вычисления показывают, что это слияние происходит при  $x/t = c(1+2\gamma)^{-1/2} = c_0$ .

Известно ([9], § IV.3), что асимптотика подобных интегралов выражается через дополнительную функцию вероятностей  $\text{erfc}(x) = (2/\sqrt{\pi}) \int_x^\infty \exp(-u^2) du$ :

$$\phi_\theta(x, t) = \theta(c_0 t - x) + (-\Psi(\omega_1)/2\Psi''(\omega_1))^{1/2} \text{erfc}((i\Psi(\omega_1))^{1/2})/\omega_1 \quad (5)$$

(здесь малость  $\gamma$  не предполагается). Если параметр  $\gamma \ll 1$ , то эта формула упрощается:

$$\phi_\theta(x, t) \approx \theta(c_0 t - x) + \text{erfc}(\lambda^{1/2} |\beta - \xi|) \text{sign}(x - c_0 t)/2\beta, \quad (6)$$

где  $\lambda = \gamma x/c\tau \gg 1$ ,  $\xi = (((1+2\gamma)^{1/2} - 1)/\gamma)^{1/2}$ . Формулы (5) и (6) описывают непрерывные функции, в которых скачки слагаемых при  $\beta = \xi$  (или, что эквивалентно, при  $x = c_0 t$ ) компенсируют друг друга. В области  $|x - c_0 t| \gg c(\gamma t)^{1/2}$  можно воспользоваться асимптотикой функции  $\text{erfc}$  и упростить формулу (6):

$$\phi_\theta(x, t) \approx \theta(c_0 t - x) + (4\pi\lambda\beta |\beta - 1|)^{-1/2} \exp(-\lambda(\beta - 1)^2) \text{sign}(x - c_0 t). \quad (7)$$

Форма импульса вблизи фронта  $x = ct$  определяется высокочастотными компонентами спектра, бегущими со скоростью, близкой к  $c$ . Ее можно найти, разлагая функцию  $\Psi(\omega)$  в ряд по большим  $\omega t$  и сводя полученный интеграл к интегральному представлению модифицированной функции Бесселя  $I_0$ :

$$\phi_\theta(x, t) \approx I_0(2\lambda\beta) \exp(-\lambda(\beta^2 + 1)) \theta(ct - x). \quad (8)$$

Этой формулой можно пользоваться при  $\beta \ll 1$ , что эквивалентно

$$ct - x \ll \gamma x. \quad (9)$$

В области, где одновременно выполняются неравенства (4) и (9), формулы (7) и (8) совпадают с точностью до членов порядка  $\beta$ .

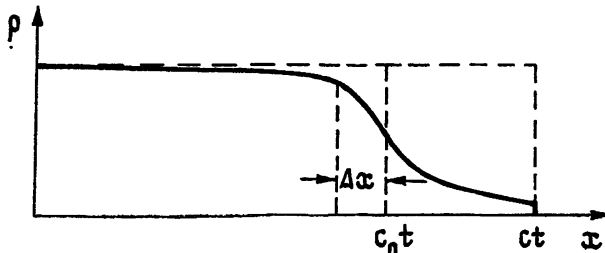


Рис. 1. Деформация импульса, имеющего в начальный момент форму ступеньки.

Форма импульса  $\phi_\theta(x, t)$ , найденная по формулам (6) и (8), изображена на рис. 1. Фронт импульса движется со скоростью  $c$  —

максимально возможной скоростью в среде. Вступление импульса начинается со скачка величины  $\exp(-x/L)$ , где  $L = c\tau/\gamma$  — дисперсионная длина, т. е. расстояние, на котором заметны дисперсионные эффекты. Точка перегиба импульса движется строго со скоростью  $c_0$  — скоростью распространения низкочастотных составляющих импульса. Удобно ввести время нарастания импульса  $\Delta t$  — время, за которое фаза изменяется в  $e$  раз вблизи точки перегиба:  $\Delta t \approx (2\gamma\tau)^{1/2} = \tau(2x/L)^{1/2}$ ,  $\Delta x = -c_0\Delta t$ . Если расстояние между точками  $x = ct$  и  $x = c_0t$  превышает первоначальную ширину импульса уже в несколько раз, можно выделить фронтальную часть («предвестник») и основную часть («тело»)

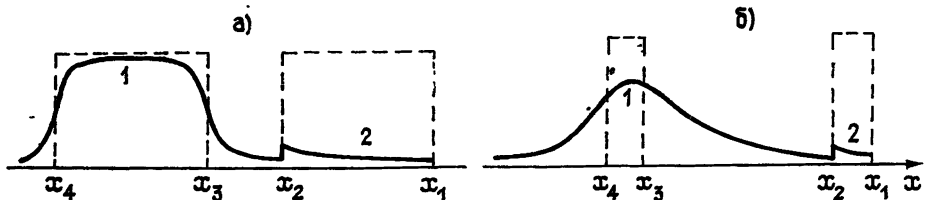


Рис. 2. Деформация импульса, имеющего в начальный момент прямоугольную форму (показанную пунктиром):

а) при  $\Delta x \ll b$ , б) при  $\Delta x \gg b$  (1 — «тело» импульса, 2 — «предвестник»);  $x_{1,2} = ct \pm b$ ,  $x_{3,4} = c_0t \pm b$ .

импульса (см. рис. 2). Предвестник имеет два экспоненциально убывающих разрыва в точках  $x = ct \pm b$ . Для расстояний, при которых время  $\Delta t$  много меньше первоначальной длительности сигнала  $T = 2b/c$ , тело импульса практически сохраняет свою первоначальную амплитуду, имеет несколько сглаженную прямоугольную форму и бежит со скоростью  $c_0$ . При обратном соотношении  $\Delta t \gg T$  для тела импульса получаем следующее приближенное выражение:  $\phi(x, t) = (\phi_b(x - b, t) - \phi_b(x + b, t))/2 \approx -b(\partial/\partial x)\phi_b = \phi_b b$ , где  $\phi_b$  — форма импульса, имеющего в начальный момент δ-образную форму. Используя методы, аналогичные методам нахождения асимптотики  $\phi_b$ , получим следующие формулы, описывающие асимптотику  $\phi_b$ :

$$\phi_b(x, t) = \begin{cases} (2\pi\lambda\beta^3)^{-1/2} \exp[-\lambda(\beta - \xi)^2]/ct, & ct - x \gg ct^2/\gamma t \\ e^{-\lambda\delta}(ct - x) + I_1(2\sqrt{\lambda\beta}) \exp[-\lambda(\beta^2 + 1)]/ct\beta, & ct - x \ll \gamma x \end{cases} \quad (10)$$

Тело импульса  $\phi_b$  имеет колоколообразную форму ширины  $\Delta x \sim t^{1/2}$  (см. рис. 2б). Максимум движется со скоростью  $c_0$  и равен  $\max \phi_b = (2\pi\gamma\tau)^{-1/2} c^{-1} = (L/x)^{1/2}/tc$ . Всюду вне точки максимума импульс убывает экспоненциально. Например, в точке, движущейся со скоростью  $v < c$ ,  $\phi_b(vt, t) = \exp[-t\alpha(v)](ct/2\pi vt)^{1/2}(c/v - 1)^{-3/4}\gamma^{1/4}$ , где  $\alpha(v) = (v/c\tau)[(c/v - 1)^{1/2} - (c/c_0 - 1)^{1/2}]^2$ . В точках  $x \ll c_0t$  среда стремится к равновесию  $\phi = 0$  с характерным временем релаксации  $\tau$ :  $\phi_b(x, t) \approx (\gamma x/c^5 t^3 4\pi^2 \tau^2)^{1/4} \exp(-t/\tau)$ .

Исследуем теперь распространение импульса прямоугольной формы с частотным заполнением:  $\phi(x, 0) = \theta(b - |x|) \sin(k_0 x + \psi_0)$ ,  $\dot{\phi}(x, 0) = 0$ . Форма этого импульса в точке  $x > b$  дается выражением

$$\begin{aligned} \phi(x, t) = & (\phi_c(x - b, t) \sin \psi_1 + \phi_s(x - b, t) \cos \psi_1 - \\ & - \phi_c(x + b, t) \sin \psi_2 - \phi_s(x + b, t) \cos \psi_2)/2. \end{aligned} \quad (11)$$

Здесь  $\psi_{1,2} = \psi_0 \pm k_0 b$  — фазы включения и выключения сигнала,

$$\phi_c = \operatorname{Re} \phi_{k_0}, \quad \phi_s = \operatorname{Im} \phi_{k_0}, \quad \omega_0 = k_0 c, \quad (12)$$

$$\phi_{k_0}(x, t) = (2\pi i)^{-1} \int_{-\infty+i0}^{\infty+i0} [\omega - \omega_0(1 + \tilde{f}(\omega))^{-1/2}]^{-1} \exp[i\Psi(\omega)] d\omega.$$

При выполнении условий (3), (4) асимптотика интеграла (12) исследуется методом перевала, при этом следует учесть взаимное влияние точки перевала  $\omega_1$  функции  $\Psi(\omega)$  и полюса  $\omega_n$  внеэкспоненциальной функции:  $\omega_n \approx \omega_0(1+\kappa^2 - \gamma - i\gamma\kappa)/(1+\kappa^2)$ . Здесь введен параметр  $\kappa = \omega_0 t$ .

При исследовании интеграла (12) существенную роль играет параметр  $\lambda\kappa^2$ . Если  $\lambda\kappa^2 \gg 1$  (этот случай реализуется при распространении лазерных импульсов, когда  $\kappa \gg 1$ ), вклады полюса и перевальной точки можно учитывать независимо. В противном случае, т. е. при  $\kappa \ll 1$  и  $\lambda\kappa^2 \gtrsim 1$  (этот случай встречается, например, в акустике океана), воспользуемся равномерной асимптотикой, имеющей с точностью до членов порядка  $\gamma$  следующий вид:

$$\varphi_{k_0}(x, t) = \exp(i\Omega - \alpha t) (\theta(\beta - A) + B \operatorname{erfc}((1 - \beta - i\beta\kappa)B\lambda^{1/2})), \quad (13)$$

где  $\Omega = k_0 x - \omega_0 t(1 - \gamma/(1+\kappa^2))$ ,  $\alpha = \omega_0 \gamma \kappa / (1 + \kappa^2)$ ,  $A = (1 + \kappa^2)^{-1/2}$ ,  $B = A \operatorname{sign}(A - \beta)$ . При  $\lambda\kappa^2 \gg 1$  аргумент функции  $\operatorname{erfc}$  велик при любых значениях  $\beta$ . Пользуясь ее асимптотикой и отделяя вещественную и мнимую часть, получим

$$\begin{aligned} \varphi_c &= \theta(x - c_0 t) \exp(-\alpha t) \cos \Omega + (\xi - \beta) D, \\ (14) \end{aligned}$$

$$\varphi_s = \theta(x - c_0 t) \exp(-\alpha t) \sin \Omega + \beta \kappa D,$$

где  $D = \exp[-\lambda(\xi - \beta)^2]/2(\pi\beta\lambda)^{1/2}[(\xi - \beta)^2 + \beta^2\kappa^2]$ . В случае  $\lambda\kappa^2 \leq 1$  формулы (14) дают представление функций  $\varphi_c, s$  всюду, кроме малой окрестности точки  $x = c_0 t$ , в которой необходимо пользоваться общей формулой (13).

Вблизи фронта, где метод перевала неприменим, разложим фазовую и внеэкспоненциальную функцию в интеграле (12) в ряд по  $\gamma$ . Пренебрегая членами порядка  $\gamma^2$ , получаем

$$\varphi_{k_0}(x, t) = (2\pi i)^{-1} \int_{-\infty+i0}^{\infty+i0} (\omega - \omega_n)^{-1} \exp[-i\lambda\beta(\omega t - 1/\omega t)] d\omega. \quad (15)$$

Если  $\kappa \ll \lambda$ , то несущая частота не будет сказываться на форме импульса вблизи фронта. В этом случае из (15) получаем формулы, аналогичные (8):

$$\begin{aligned} \varphi_c(x, t) &= I_0(2\lambda\beta) \exp[-\lambda(\beta^2 + 1)], \\ (16) \end{aligned}$$

$$\varphi_s(x, t) = \beta\kappa I_0(2\lambda\beta) \exp[-\lambda(\beta^2 + 1)].$$

Чтобы исследовать случай  $\kappa \geq \lambda$ , рассмотрим модельный интеграл  $J(\lambda_1, \lambda_2, \varepsilon) = \int_{-\infty+i0}^{\infty+i0} (z + i\varepsilon)^{-1} \exp(-i\lambda_1 z + i\lambda_2/z) dz$ . Дифференцируя  $\exp(-\lambda_1 z) J(\lambda_1, \lambda_2, \varepsilon)$  по параметру  $\lambda_1$ , нетрудно получить  $J(\lambda_1, \lambda_2, \varepsilon) = \exp(\lambda_1 \varepsilon) (1 + 2\lambda_1 \int_0^1 \exp(-\lambda_1 \varepsilon y^2) I_1(2\lambda_1 y) dy)$ . Применяя эту формулу к (15) и отделяя вещественную и мнимую части, получим

$$\begin{aligned} \varphi_c &= \exp(-\lambda) \cos(\lambda\beta^2\kappa) (1 + 2\lambda\beta \int_0^1 \exp(-\lambda\beta^2 y^2) \cos(\lambda\beta^2\kappa y^2) I_1(2\beta\lambda y) dy), \\ (17) \end{aligned}$$

$$\varphi_s = \exp(-\lambda) \sin(\lambda\beta^2\kappa) (1 + 2\lambda\beta \int_0^1 \exp(-\lambda\beta^2 y^2) \sin(\lambda\beta^2\kappa y^2) I_1(2\beta\lambda y) dy).$$

При больших  $\lambda\beta$  асимптотика интегралов (17) может быть найдена методом перевала, при этом следует учитывать, что перевальная точка

может слиться с границей отрезка интегрирования (см. [9], § IV.1). Анализ показывает, что эта асимптотика совпадает с (13), а при  $\kappa=0$  с (6), с точностью до членов порядка  $\lambda^{-1/2}$ .

На основании формул (11)–(17) можно сделать следующие выводы об эволюции формы частотно-заполненных импульсов с прямоугольной образующей. На временах  $t > b/\gamma$  импульс разделяется на предвестник и тело. Выражение для предвестника получается подстановкой в соотношение (11) формул (16) или (17), а выражение для тела импульса — подстановкой формул (13) или (14) в зависимости от соотношений параметров  $\kappa$ ,  $\lambda$ ,  $\beta$ . Если частота достаточно низкая, а импульс прошел не слишком большое расстояние, так что  $\lambda\kappa^2 \leq 1$ , то тело импульса состоит в основном из заполняющей гармоники, которая постепенно затухает пропорционально  $\exp(-\alpha t)$ . Небольшие искажения синусоиды будут существенны вблизи точек  $x = c_0 t \pm b$ , на расстояниях, меньших длины волны заполняющей гармоники ( $\lambda\kappa^2 \approx (\Delta x k_0)^2$ ). При  $\lambda\kappa^2 \gg 1$  импульс сильно деформируется. Если  $\Delta x \gg 2b$ , то влияние заполняющей гармоники становится несущественным. При  $\Delta x \gg b$  можно воспользоваться следующей приближенной формулой:

$$\varphi_{k_0}(x, t) \approx [(\cos \psi_1 - \cos \psi_2) \varphi_s(x, t) + (\sin \psi_1 - \sin \psi_2 + 2k_0 b \cos \psi_2) \times \\ \times \varphi_c(x, t) + (2b/c\tau) (\sin \psi_2 - k_0 b \cos \psi_1) \varphi_1(x, t)]/2,$$

где  $\varphi_s$  и  $\varphi_c$  даются выражениями (14), а  $\varphi_1 = (\xi - \beta)^2 D$ . При различных соотношениях фаз включения и выключения сигнала тело импульса может иметь колоколообразную форму, пропорционально  $\varphi_s$ , иметь положительный и отрицательный горбы, пропорционально  $\varphi_c$ , или иметь два горба одного знака, пропорционально  $\varphi_1$ . Заметим, что в малой окрестности точки  $x = c_0 t$  импульсы  $p_s$ ,  $p_c$ ,  $p_1$  ведут себя аналогично импульсам, имеющим в начальный момент форму  $\delta(x)$ ,  $\delta'(x)$ ,  $\delta''(x)$  соответственно; то же можно сказать про низкочастотную часть спектра этих импульсов.

В заключение отметим, что регистрация изменения формы импульсов вследствие дисперсии и поглощения экспериментально изучалась в ряде работ (например, в оптике [10, 11], в физической акустике [12] и т. д.). Обработка подобных экспериментальных данных с учетом теоретических результатов, посвященных изменению формы импульсов ([13–15], с которыми тесно связана настоящая статья), может служить методом диагностики релаксирующих сред и определения частотной зависимости поглощения, не требующим сложного комплекса измерения во всем частотном диапазоне (см. [12]). Среди релаксационных процессов кнезеровского типа занимает особое место: процессы кнезеровского типа существуют практически во всех веществах (полярных жидкостях, электролитах, кристаллах и т. д.), как правило, другие типы релаксационных процессов наблюдаются «на фоне» кнезеровской релаксации [4]. Характерные времена релаксации  $\tau$  для различных веществ меняются в широких пределах: от  $10^{-3}$  с (водный раствор  $B(OH)_3$  [16]) до  $10^{-11}$  с (хинолин [7]). В морской воде наиболее важен релаксационный механизм, обусловленный диссоциацией соли  $MgSO_4$  ( $\tau \sim 2.5 \cdot 10^{-6}$  с [5]). Параметр  $\gamma$  выражается через скорости распространения высокочастотных  $c = c_\infty$  и низкочастотных  $c_0$  колебаний:  $\gamma = (c^2 - c_0^2)/2c_0^2$ . Для большинства веществ дисперсионный скачок  $(c - c_0)/c_0 \approx \gamma \ll 1$ , например для морской воды  $\gamma \approx 5 \cdot 10^{-5}$ . Дисперсионная длина  $L$ , на которой становится существенной деформация импульса, также меняется в широких пределах: для морской воды  $L \approx 150$  м, для бензола  $L \approx 3.5 \cdot 10^{-4}$  см.

Разумеется, в первом случае реализовать одномерный режим распространения затруднительно. Однако трехмерный случай не требует специального рассмотрения: представляя импульс в виде свертки начального возмущения с фундаментальным решением  $\mathcal{E}_3$  соответствующего оператора и пользуясь связью между фундаментальными решениями  $\mathcal{E}_1$  и  $\mathcal{E}_3$  (см. [13]),  $\mathcal{E}_3(t, r) = -(2\pi r)^{-1} (\partial/\partial r) \mathcal{E}_1(t, r)$ , формулы для

трехмерного случая нетрудно получить из приведенных выше формул для одномерного случая. Из сравнения соответствующих интегральных представлений видно, что  $\mathcal{E}_1(t, x) = c^{-1}\varphi_\theta(t, x)$ . Таким образом,

$$\mathcal{E}_3(t, r) = \frac{1}{2\pi rc} \varphi_\delta(t, r).$$

Для того чтобы определить параметры релаксации  $\tau$  и  $\gamma$ , достаточно измерить, например, разность времен прихода фронта и точки перегиба (или максимума в случае трехмерных импульсов или коротких одномерных), а также время нарастания (ширину тела импульса). Разумеется, в реальных условиях ситуация может осложниться необходимостью учета волноводного характера распространения, конкурирующих релаксационных процессов и т. д. Эти вопросы могут стать предметом специального рассмотрения.

## ЛИТЕРАТУРА

1. Ландау Л. Д., Либштадт Е. М. Электродинамика сплошных сред. — М.: Наука, 1982.
2. Киреев П. С. Физика полупроводников. — М.: Высшая школа, 1975.
3. Мандельштам Л. И., Леонтьевич М. А. — ЖЭТФ, 1987, 7, № 3, с. 438.
4. Михайлов И. Г., Соловьев В. А., Сырников Ю. П. Основы молекулярной акустики. — М.: Наука, 1964.
5. Физическая акустика / Под ред. Мэзона У. — М.: Мир, 1969, 2, ч. А.
6. Красильников В. А., Крылов В. В. Введение в физическую акустику. — М.: Наука, 1984.
7. Фабелинский И. Л. Молекулярное рассеяние света. — М.: Наука, 1965.
8. Гуревич А. В., Шварцбург А. Б. Нелинейная теория распространения радиоволн в ионосфере. — М.: Наука, 1973.
9. Федорюк М. В. Метод перевала. — М.: Наука, 1977.
10. Варнавский О. П., Головлев В. В., Киркин А. Н., Можаровский А. М. — Письма в ЖЭТФ, 1985, 41, вып. 1, с. 9.
11. Fagge R. M., Mac Gillivray W. R., Standage M. C. — Phys. Lett., 1985, 107, № 6, р. 263.
12. Бердышев А. А., Лежнев Н. Б. — Акуст. журн., 1963, 9, № 1, с. 113.
13. Локшин А. А., Суворова Ю. В. Математическая теория распространения волн в средах с памятью. — М.: Гос. ун-т, 1982.
14. Вайнштейн Л. А. — УФН, 1976, 118, вып. 2, с. 339.
15. Вайнштейн Л. А., Вакман Д. Е. Разделение частот в теории колебаний и волн. — М.: Наука, 1983.
16. Вадов Р. А. В кн.: Проблемы акустики океана. — М.: Наука, 1984.

Акустический институт

Поступила в редакцию  
10 июня 1985 г.

## PROPAGATION OF PULSES IN A KNESER'S RELAXATION MEDIUM

M. Ya. Kel'bert, I. A. Sazonov

This paper deals with the asymptotic investigation of shapes of acoustical and electromagnetic pulses in a Kneser's relaxation medium. It is shown, that the shape analysis can be applied for diagnostic aims and for determination of the medium's parameters.